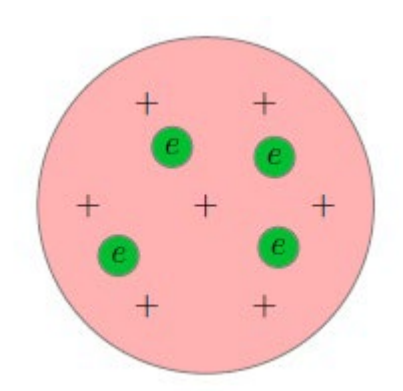
## Атомная физика

Лекция 3

проф. Попов Александр Михайлович

## Модели атомов: атомы Томсона, Резерфорда и Бора

Атом Томсона (1897-1903).



$$\ddot{\vec{r}} + \Omega_0^2 \vec{r} = 0$$

$$\Omega_0 = \sqrt{e^2/mR^3} \sim 10^{16} c^{-1}$$
 npu  $R \approx 0.5 A$ 

$$\vec{r}(t) = \vec{r}_0 \cos \Omega_0 t$$

Учет радиационного затухания

$$\ddot{ec{r}}+\gamma\dot{ec{r}}+\Omega_{0}^{2}ec{r}=0$$
  $\gamma=2e^{2}\Omega_{0}^{2}/3mc^{3}<<\Omega_{0}$  классическая постоянная затухания

$$\vec{r}(t) \cong \vec{r}_0 \exp(-\gamma t/2) \cos \Omega_0 t$$

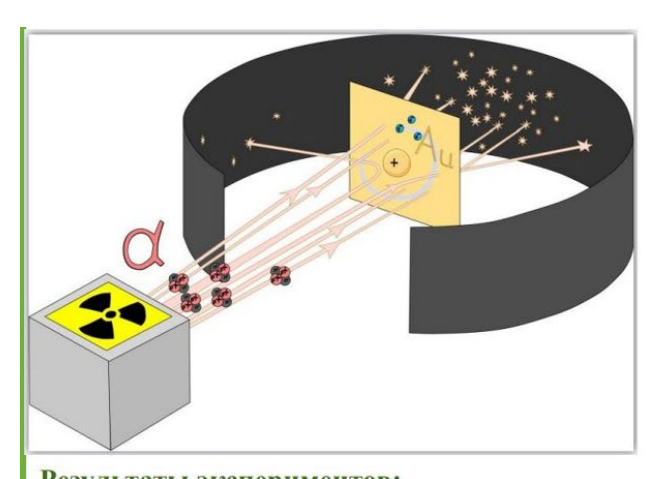
$$E(t) = rac{mec{r}^2}{2} + rac{m\Omega_0^2ec{r}^2}{2} = E_0 \exp(-\gamma t)$$
  $au = 1/\gamma \sim 10^{-9} \ c$  время жизни

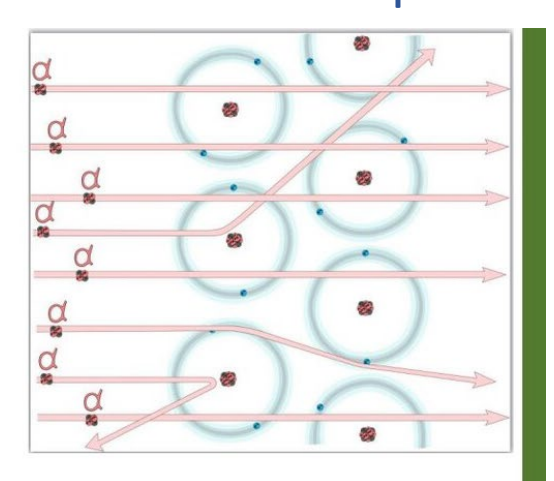
время жизни возбужденного атома

Спектр излучения:  $\Omega_0$ ,  $2\Omega_0$ ,  $3\Omega_0$ , ... - кратные частоты

Основной вывод: атом – это осциллятор с временем затухания ~ 1 нс

## Опыты Резерфорда (1909-1911). Атомное ядро. Планетарная модель атома.

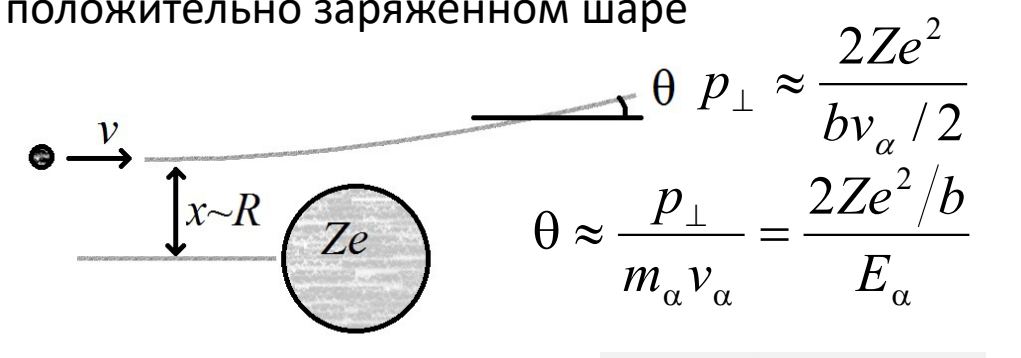




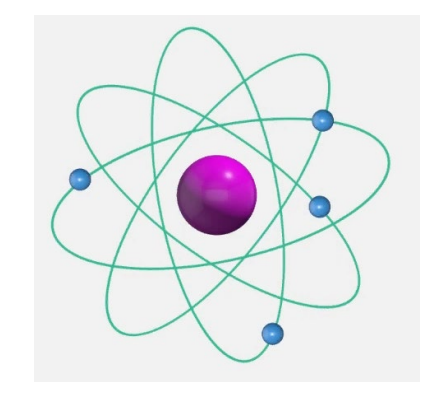
Результаты экспериментов:

- большее число α-частиц, рассеивалось на небольшие углы (не больше 3°),
- наблюдались также отдельные α-частицы, рассеянные на большие углы;

единичный акт рассеяния на положительно заряженном шаре



При  $b = R = 10^{-8}$  см получаем  $\theta_{mih} \sim 4 \times 10^{-4} \; (\sim 0.02 \; \text{град})$ 



В атоме существует область компактно локализованного положительного заряда атомное ядро (размер  $\sim 10^{-12}$  cm)

#### Планетарная (ядерная) модель атома и проблема устойчивости

Излучение

$$\frac{dE}{dt} = -\frac{2e^2}{3c^3} \left| \ddot{\vec{r}} \right|$$

$$mv^2/r = e^2/r^2$$
  $E = -mv^2/2 = -e^2/2r$ 

$$\frac{dE}{dt} = -\frac{2e^2}{3c^3} \left| \ddot{\vec{r}} \right|^2 \qquad mv^2/r = e^2/r^2 \quad E = -mv^2/2 = -e^2/2r \qquad \qquad \frac{dE}{dt} = -\beta E^4 \qquad \beta = \frac{32}{3} \frac{1}{m} = \frac{1}{3\beta |E_0|^3} \left| \frac{mc^2}{|E_0|} \right|^3 \cdot \frac{e^2}{mc^3} \qquad$$
 Если  $E_0 = -10$  эВ, то  $\tau \sim 10^{-10}$ с

$$\frac{dE}{dt} = -\beta E^4$$
  $\beta = \frac{32}{3} \frac{1}{m^2 c^3 e^2}$ 

Если 
$$E_0=-10$$
 эВ, то  $au{\sim}10^{-10}{
m c}$ 

### Сериальные закономерности в спектре атома водорода

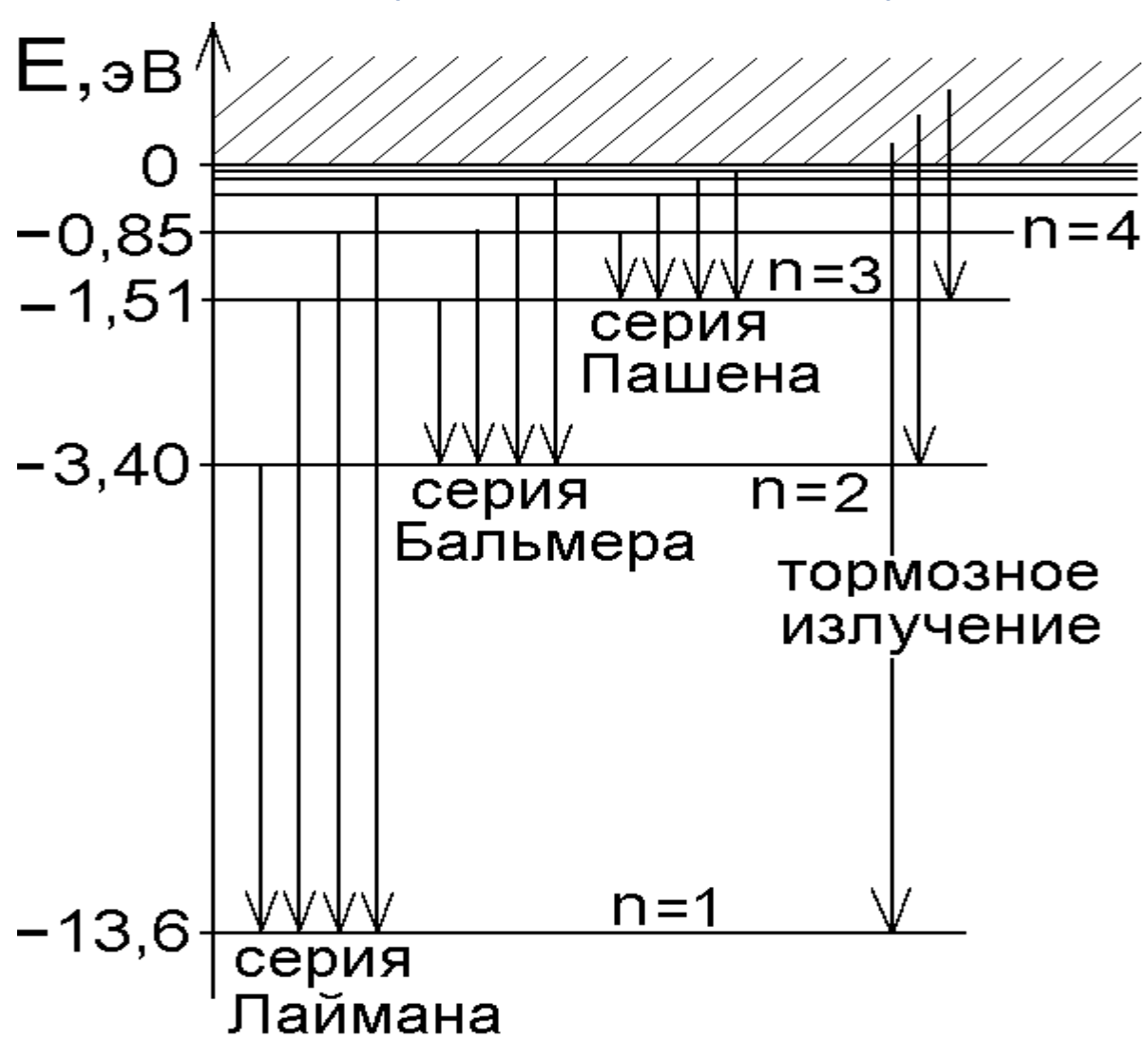
• серия Бальмера (1885)

$$\frac{1}{\lambda} = R \left( \frac{1}{2^2} - \frac{1}{n^2} \right) \quad n = 3,4,5,... \quad R = 109677 \text{ cm}^{-1}$$

- серия Лаймана (1906)
- серия Пашена (1911)
- Серии Брэкета, Пфунда, Хэмфри, Хансена-Стронга (1958)
- Обобщенная формула Бальмера

$$\hbar\omega_{mn} = Ry \cdot Z^2 \left(\frac{1}{m^2} - \frac{1}{n^2}\right) \qquad n > m$$

$$Ry = R \times 2\pi\hbar c = 13.6$$
 эВ



Сериальные закономерности не могут быть поняты в рамках моделей Томсона и Резерфорда и подталкивают к мысли и дискретной структуре атомных уровней

## Модель Бора (1913)

Квантование момента количества движения (для круговой орбиты)

$$L_z = mvr = n\hbar, \quad n = 1, 2, 3....$$

OTKYAA B3ANN??

Уравнение движения  $m \frac{v^2}{r} = \frac{Ze^2}{r^2}$ 

$$m\frac{v^2}{r} = \frac{Ze^2}{r^2}$$

Решение

$$r_n = \frac{\hbar^2}{me^2} \frac{n^2}{Z} = a_0 \frac{n^2}{Z}$$

$$r_n = \frac{\hbar^2}{me^2} \frac{n^2}{Z} = a_0 \frac{n^2}{Z}$$
  $a_0 = \hbar^2 / me^2 = 5.29 \cdot 10^{-9} \text{ cm}$ 

боровский радиус

$$\alpha = e^2/\hbar c = 1/137$$

$$E_n = -\frac{mv_n^2}{2} = -\frac{me^4}{2\hbar^2} \frac{Z^2}{n^2}$$

$$E_n = -rac{m v_n^2}{2} = -rac{m e^4}{2 \hbar^2} rac{Z^2}{n^2}$$
  $\hbar \omega_{mn} = R y \cdot Z^2 igg(rac{1}{m^2} - rac{1}{n^2}igg)$   $R y = rac{m e^4}{2 \hbar^2} = 13.606$  ЭВ Ридберг

$$Ry = \frac{me^4}{2\hbar^2} = 13.606 \text{ pB}$$

## Модель Бора и волны де Бройля

Гипотеза де Бройля: электрону с импульсом p соответствует волна с  $\lambda_D = h/p$  Движение устойчиво, если на орбите укладывается целой число длин волн:

$$n\lambda_D = 2\pi r_n$$

Следовательно:  $n(h/mv_n)=2\pi r_n$   $\longrightarrow$   $L_z=mv_nr_n=n\,h/2\pi$ 

Обобщение на случай эллиптических орбит (модель Бора- Зоммерфельда, 1916)

$$\oint p_i dq_i = 2\pi n_i \,\hbar$$

## Релятивистское обобщение модели Бора

#### Уравнения

$$\frac{d}{dt} \frac{m\vec{v}}{\sqrt{1 - (v/c)^2}} = -\frac{Ze^2}{r^3} \vec{r} \qquad \qquad \qquad \qquad \frac{\gamma mv^2}{r} = \frac{Ze^2}{r^2}$$

$$\gamma = 1/\sqrt{1 - (v/c)^2}$$

$$L_z = \gamma m v r = n\hbar$$

$$v_n/c = \alpha Z/n$$

Решение 
$$v_n/c = \alpha Z/n$$
  $r_n = a_0 \frac{n^2}{Z} \sqrt{1 - (\alpha Z/n)^2}$ 

$$E = \gamma mc^{2} - \frac{Ze^{2}}{r} = \gamma mc^{2} \left(1 - v^{2}/c^{2}\right) = mc^{2} \sqrt{1 - \left(v/c\right)^{2}} = mc^{2} \sqrt{1 - \left(\alpha Z/n\right)^{2}}$$

Конец таблицы Менделеева

$$Z > Z^* = 1/\alpha = 137$$

Энергия за вычетом энергии покоя

$$\widetilde{E}_{n} = E_{n} - mc^{2} = -mc^{2} \left( 1 - \sqrt{1 - (\alpha Z/n)^{2}} \right) \qquad \widetilde{E}_{n} \approx -\frac{1}{2} \alpha^{2} mc^{2} \frac{Z^{2}}{n^{2}} - \frac{1}{8} mc^{2} (\alpha Z/n)^{4} \qquad \frac{1}{2} \alpha^{2} mc^{2} = Ry$$

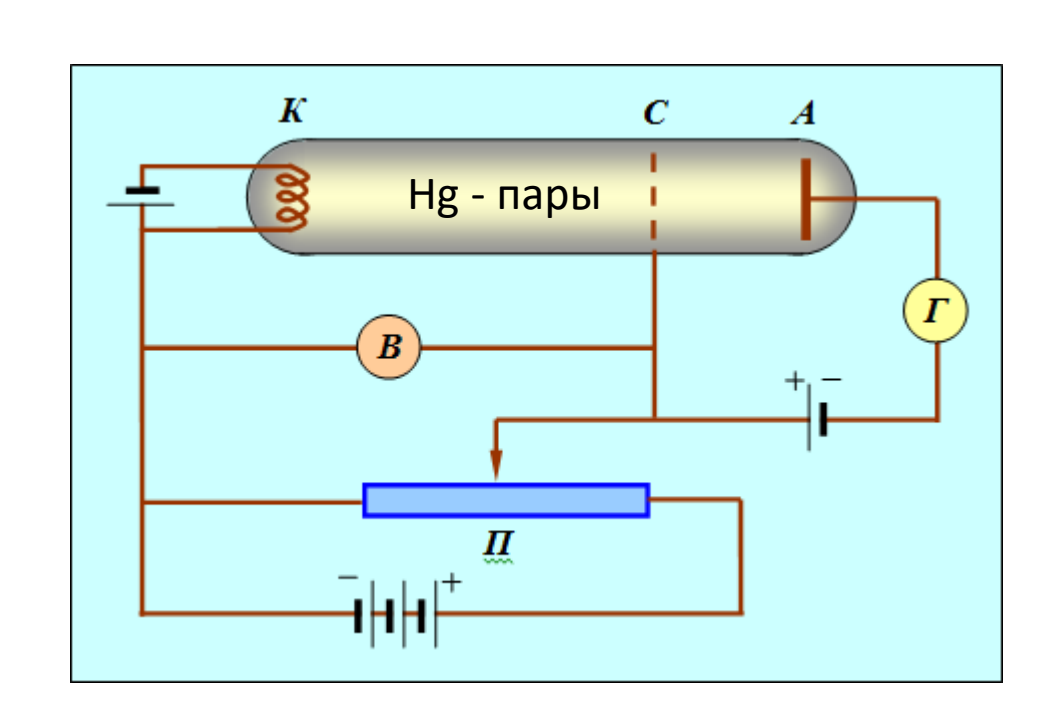
$$\widetilde{E}_n \approx -\frac{1}{2}\alpha^2 mc^2 \frac{Z^2}{n^2} - \frac{1}{8}mc^2(\alpha Z/n)^2$$

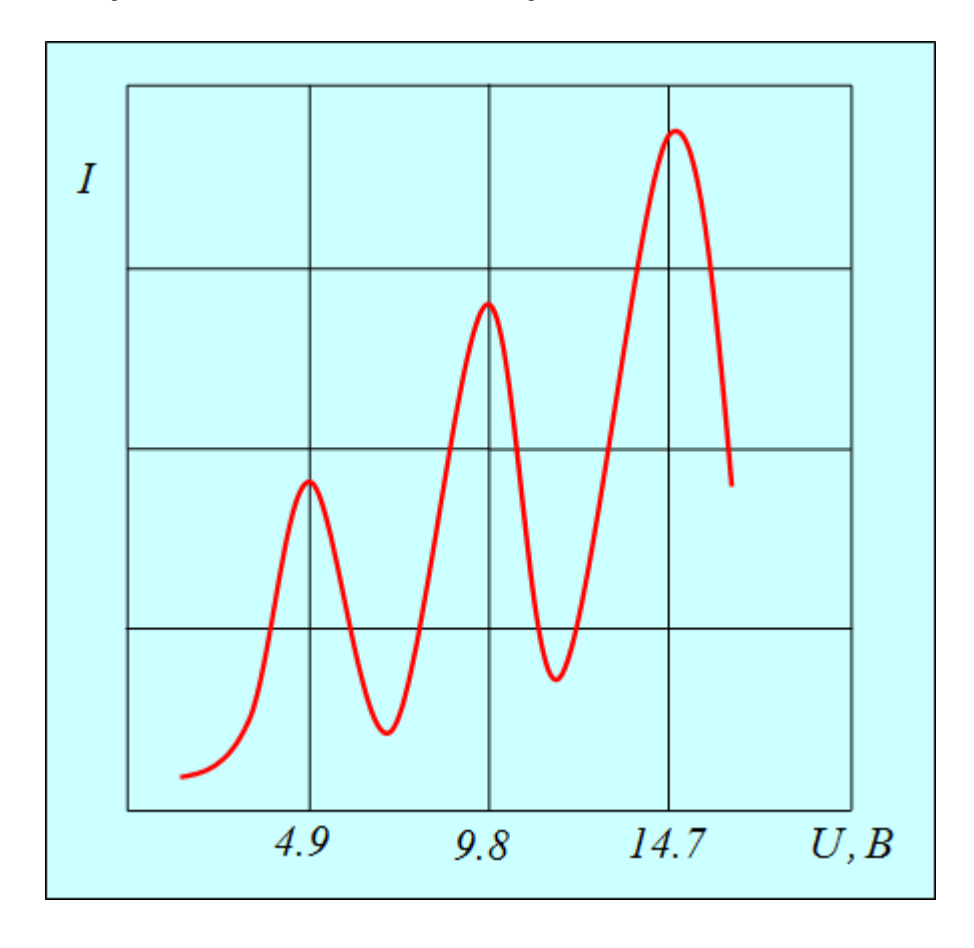
$$\frac{1}{2}\alpha^2 mc^2 = Ry$$

Водород, основное состояние

$$\delta E_p \approx -\frac{1}{8}mc^2\alpha^4 = -\frac{1}{4}\alpha^2 Ry \approx -1.8 \cdot 10^{-4} \ 9B$$

## Экспериментальное подтверждение дискретности атомных уровней. Опыты Франка и Герца (1925)





Зависимость анодного тока от напряжения между катодом и сеткой

# Изотопический сдвиг атомных уровней (конечная масса атомного ядра) Существуют и другие

До сих пор полагали, что масса ядра бесконечна.

На самом деле  $m/m_p \approx 1/1836 \approx 5.4 \cdot 10^{-4}$ 

$$E_n = -rac{\mu e^4}{2\hbar^2} rac{Z^2}{n^2} pprox -Ry rac{Z^2}{n^2} \left(1 - rac{m}{M}
ight) \qquad \mu = mM/(m+M) pprox m(1-m/M) \qquad$$
 приведенная масса

причины изотопсдвига

Изотопы — одинаковое число протонов, но различное число нейтронов в атомном ядре. Например — водород, дейтерий, тритий  $M_D \approx 2m_p$ ,  $M_T \approx 3m_p$ .

$$I_D - I_H \approx Ry \left(\frac{m}{m_p} - \frac{m}{2m_p}\right) = Ry \frac{m}{2m_p} \approx 2.7 \cdot 10^{-4} Ry$$

$$I_T - I_H \approx Ry \left(\frac{m}{m_p} - \frac{m}{3m_p}\right) = Ry \frac{2m}{3m_p} \approx 3.6 \cdot 10^{-4} Ry$$

Проблема разделения изотопов

## μ - атомы и позитроний

Мюон:  $m_{\mu} \approx 207~m_e$ ,  $\tau_{\mu} \approx 2.2~{\rm MKC}$ 

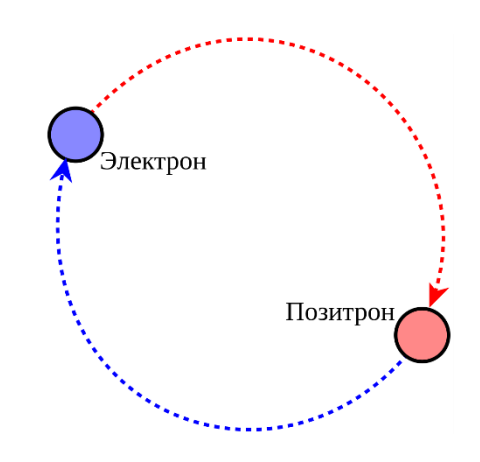
$$a_{\mu} = \hbar^2 / m_{\mu} e^2 = a_0 / 207 \approx 2.5 \cdot 10^{-11} \text{ cm}$$
  $I_{\mu} = m_{\mu} e^4 / 2\hbar^2 = 207 \text{Ry} \approx 2.8 \text{ KBB}$ 

С учетом конечной массы ядра  $I_{\mu} \approx (1 - m_{\mu}/m_{p}) \times 207 Ry \approx 186 Ry \approx 2.5 \ \kappa э B$ 

Идея µ – катализа реакции ядерного синтеза (Альварец, 1956)

Позитроний: система  $e^- + e^+$   $\mu = m/2, \ I = 0.5 Ry \approx 6.8 эВ$ 

Время жизни парапозитрония (S=0) – 0.12 нс, ортопозитрония (S=1) – 140 нс



### Экситоны. Экситон Ванье - Мотта

#### Связанное состояние электрона и дырки в полупроводнике

$$\mu \frac{v^2}{r} = \frac{e^2}{\varepsilon r^2}$$

$$\mu vr = n\hbar, \quad n = 1, 2, 3....$$

$$a_{ex} = \frac{\varepsilon \hbar^2}{\mu e^2} = a_0 \varepsilon \frac{m}{\mu}$$

$$a_{ex} = \frac{\varepsilon \hbar^2}{\mu e^2} = a_0 \varepsilon \frac{m}{\mu} \qquad I_{ex} = \frac{\mu e^4}{2\varepsilon^2 \hbar^2} = \frac{\mu}{\varepsilon^2 m} Ry$$

Например, кремний:  $\varepsilon \approx 12$ ,  $\mu \approx 0125m$ 

$$a_{ex} \approx 100a_0$$

$$I_{ex} = 8.68 \times 10^{-4} Ry \approx 0.018 \ 9B$$

## Пределы применимости и ограниченность модели Бора

- Невозможность описать многочастичные системы (многоэлектронные атомы)
- Невозможность описать взаимодействие атомов друг с другом и образование молекул
- Невозможность описать переходы между стационарными состояниями и время жизни возбужденных атомов
- Противоречие самой идее волновой теории: траектория у микрообъекта невозможна вследствие соотношений неопределенности.